

## Sol-Gel법으로 제조된 $Ta_2O_5$ 박막의 유전특성과 누설전류 특성

오태성 · 이창봉 · 이병찬 · 오명제\* · 김윤호

한국과학기술연구원 정밀요업 연구실

\*한국과학기술연구원 무기재료연구실

(1991년 11월 18일 접수)

### Dielectric Properties and Leakage Current Characteristics of $Ta_2O_5$ Thin Film Prepared by Sol-Gel Process

Tae-Sung Oh, Chang-Bong Lee, Byeong-Chan Lee, Young-Jei Oh\* and Yoon-Ho Kim

Fine Ceramics Lab., Korea Institute of Science and Technology

\*Inorganic Materials Lab., Korea Institute of Science and Technology

(Received November 18, 1991)

#### 요 약

Tantalum penta-n-butoxide를 사용하여 sol-gel법으로 제조한  $Ta_2O_5$  박막의 산소분위기에서의 열처리 온도에 따른 상전이, 유전특성 및 누설전류 특성을 연구하였다.  $Ta_2O_5$  박막은 700°C 이하의 온도에서 1시간 열처리시 비정질 상태였으나, 750°C 이상의 온도에서 orthorhombic phase인  $\beta$ - $Ta_2O_5$ 로 결정화되었다.  $Ta_2O_5$  박막의 유전상수는 열처리 온도가 500°C에서 900°C로 증가함에 따라  $Ta_2O_5/Si$  계면에서의  $SiO_2$  층 두께 증가에 기인하여 17.6에서 15.3으로 감소하였다. 500~800°C의 온도범위에서 산소분위기 중 1시간 열처리시 열처리 온도가 증가할수록 누설전류가 현저히 감소하며 breakdown strength가 증가하여, 800°C에서 열처리한 시편에서는  $30 \times 10^5 V/cm$ 의 전기장에서도 breakdown이 일어나지 않았으며 누설전류도  $10^{-8} A/cm^2$  이하로 유지되었다.

#### ABSTRACT

Phase transition, dielectric properties, and leakage current characteristics of  $Ta_2O_5$  thin film fabricated by sol-gel process with tantalum penta-n-butoxide were studied as a function of annealing temperature in  $O_2$  atmosphere. Although  $Ta_2O_5$  thin film annealed at temperatures below 700°C for 1 hr was amorphous, it was crystallized to  $\beta$ - $Ta_2O_5$  of orthorhombic phase by annealing at temperatures higher than 750°C. With increasing annealing temperature from 500°C to 900°C, dielectric constant of sol-gel processed  $Ta_2O_5$  thin film was changed from 17.6 to 15.3 due to the increase of  $SiO_2$  thickness at  $Ta_2O_5/Si$  interface. For  $Ta_2O_5$  thin film annealed at 500°C to 800°C for 1 hr in  $O_2$  atmosphere, leakage current was remarkably reduced and breakdown strength was increased with higher annealing temperature. For  $Ta_2O_5$  film annealed at 800°C, breakdown did not occur even at electric field strength of  $30 \times 10^5 V/cm$  and leakage current was maintained lower than  $10^{-8} A/cm^2$ .

#### 1. 서 론

최근 반도체 기술의 눈부신 발달로 기억소자의 고집적화가 급격히 증가함에 따라 기억소자내 MOS(Metal Oxide Semiconductor) storage capacitor의 크기의 축소와 더불어 소자의 작동에 필요한 정전용량의 유지를 위해 MOS 구조내  $SiO_2$ 층 두께의 감소가 요구되고 있다<sup>1-8)</sup>. 일 예로 1M DRAM에서는 storage capacitor의

형성에 10 nm 두께의  $SiO_2$  산화막이 필요한 반면에 4 M DRAM의 경우에는 6 nm 두께의 산화막이 요구되고 있다<sup>3)</sup>. 그러나 64 M DRAM 이상의 고집적 기억소자에서는 유효 두께 5 nm 이하의 절연막이 요구됨으로써 새로운 고유전 재료, 특히  $Ta_2O_5$  박막에 대한 개발 필요성이 급격히 대두되었다<sup>1-8)</sup>.

$Ta_2O_5$ 는 유전상수가 25로 현재 DRAM의 MOS 캐페시터용 유전 재료인  $SiO_2$ 의 유전상수인 3.8보다 6배 높

으며 또한 dielectric breakdown strength가 비교적 높아 차세대 MIS(Metal Insulator Semiconductor) 캐패시터의 유전 재료로 많은 연구가 되고 있으나, 누설전류가 높아 실제 소자에의 응용에 문제점으로 되고 있다<sup>[4]</sup>. Ta<sub>2</sub>O<sub>5</sub> 박막의 형성기법으로는 열산화법, 반응성 스퍼터링법 및 화학증착법 등이 주로 연구되어지고 있다<sup>[5]</sup>. 이에 반해 sol-gel법에 의한 Ta<sub>2</sub>O<sub>5</sub> 박막 연구는 세계적으로 초보적인 단계에 머물고 있으나, 박막 형성의 용이성, 신속성 및 경제성 등에 의해 최근 관심이 고조되고 있다<sup>[6]</sup>.

본 연구에서는 sol-gel법에 의한 Ta<sub>2</sub>O<sub>5</sub> 유전 박막의 메모리 소자용 MIS 캐패시터로서의 사용 가능성을 분석하기 위하여, tantalum penta-n-butoxide를 사용하여 제조한 Ta<sub>2</sub>O<sub>5</sub> 박막의 열처리 온도에 따른 상성이, 유전 특성 및 누설전류 특성에 관하여 연구하였다.

## 2. 실험방법

박막 코팅용 용액의 제조에 비중 13 g/cm<sup>3</sup>, 순도 99.999%의 tantalum penta-n-butoxide(TPBN), Ta(O-n-C<sub>4</sub>H<sub>9</sub>)<sub>5</sub>를 사용하였으며, 용매로는 TPBN과 반응을 일으키지 않는 n-propanol을 선택하였다. H<sub>2</sub>O에 의한 TPBN의 기수분해 속도를 조절하기 위해 1 M의 순수한 중류수와 1 M HNO<sub>3</sub> 및 1 M NH<sub>4</sub>OH 수용액을 각각 포함한 n-propanol의 hydrolysis 용액을 제조하여 TPBN 1 M 용액과 혼합하였다.

H<sub>2</sub>O/TPBN mole비가 0.01에서 0.8인 경우에는 hydrolysis 용액의 pH에 관계없이 투명한 용액을 얻을 수 있었다. 그러나 H<sub>2</sub>O/TPBN mole비가 1 이상일 때, 염기성 촉매 및 중성의 hydrolysis 용액인 경우에는 흰색의 침전물이 급속히 생성되었으며, 산성 촉매의 사용시에는 gellation이 진행되었다. 1 M HNO<sub>3</sub>를 사용하여 제조한 H<sub>2</sub>O/TPBN mole비 1의 용액의 경우 한달 이상 안정된 sol 상태의 유지가 가능하였으나, Si 기판에 스핀코팅시 기판 주위에 백색종이 코팅 즉시 형성되는 것으로 보아 용액내 TPBN의 함유량이 적정 수준 이상으로 판단되었다. 따라서 본 연구에서는 1 M HNO<sub>3</sub>를 사용하여 제조한 H<sub>2</sub>O/TPBN mole비 0.8의 용액을 사용하여 Ta<sub>2</sub>O<sub>5</sub> 박막을 형성시켰다. 기판으로서는 boron이 doping된 비저항 2 Ω·cm의 p-type (100) 실리콘 웨이퍼를 세척하여 사용하였다. 코팅 용액을 기판 위에 적하시킨 다음 코팅 용액이 기판에 완전히 wetting될 수 있도록 30 sec 유지시킨 후 3000 rpm으로 30 sec 회전시켰다. 스핀코팅된 박막을 공기 중 300°C의 온도에서 10분간 유지시킨 다음,

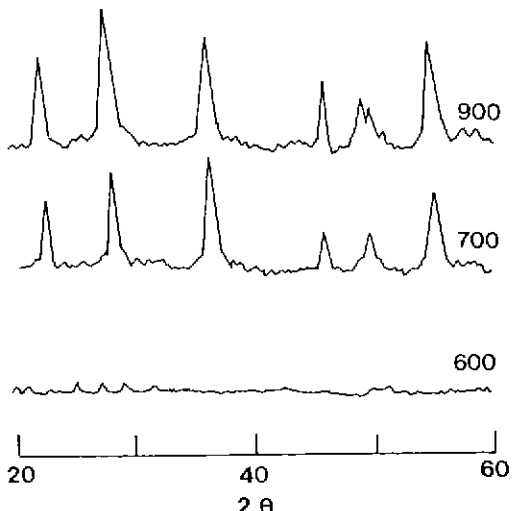


Fig. 1. XRD patterns of sol-gel derived Ta<sub>2</sub>O<sub>5</sub> powders annealed at various temperatures.

이를 다시 산소분위기 중에서 5°C/min의 승온속도로 500~900°C의 온도범위에서 1시간 유지시켜 열처리하였다.

Ta<sub>2</sub>O<sub>5</sub> 박막의 정전용량은 CV 측정장치(HP4280A)를 이용하여 1 MHz의 주파수에서 측정하였다. Ta<sub>2</sub>O<sub>5</sub> gate oxide 위에 Al을 직경 1.26 mm의 dot 형태로 마스크를 통하여 100 nm의 두께로 진공증착함으로써 gate 전극을 형성하였다. 대향전극 형성을 위해 Si 웨이퍼 뒷면에 50% HF 용액을 한방울 떨어뜨려 열처리 중 생성된 SiO<sub>2</sub>층을 제거 후 Al을 100 nm 두께로 진공증착하였다. Ta<sub>2</sub>O<sub>5</sub> 박막의 누설전류는 pA Meter(HP4140A)를 사용하여 측정하였다. 이때 Al gate 전극에 부(negative)의 전압을 걸어주어 Si 기판을 accumulation으로 하여 인가 전기장을 30 × 10<sup>5</sup> V/cm까지 증가시켰다. 각 온도에서 열처리한 Ta<sub>2</sub>O<sub>5</sub> 박막의 미세구조는 Scanning Electron Microscopy를 사용하여 관찰하였으며, 박막과 분말의 결정상은 X-선 회절분석을 이용하여 분석하였다.

## 3. 결과 및 고찰

### 3.1. Ta<sub>2</sub>O<sub>5</sub>의 결정상

Fig. 1에 각 온도에서 열처리한 Ta<sub>2</sub>O<sub>5</sub> 분말의 X-선 회절분석 결과를 나타내었다. 600°C의 온도에서 열처리시 sol-gel법으로 제조한 Ta<sub>2</sub>O<sub>5</sub> 분말은 비정질이었으나 700°C 이상의 온도에서 1시간 유지시 orthorhombic phase인 β-Ta<sub>2</sub>O<sub>5</sub>로 결정화되었다. Fig. 2에 산소분위기에서 1시간

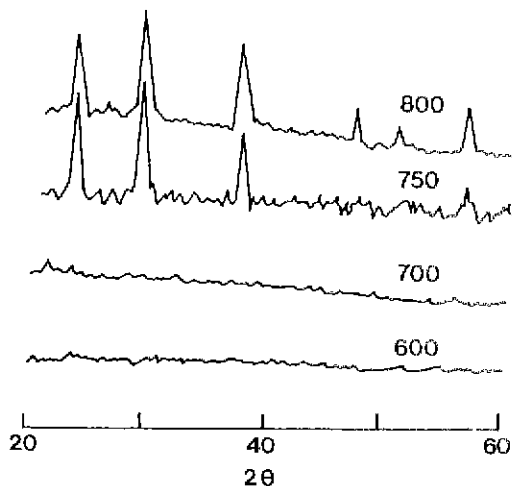


Fig. 2. XRD patterns of sol-gel derived Ta<sub>2</sub>O<sub>5</sub> films annealed at various temperatures.

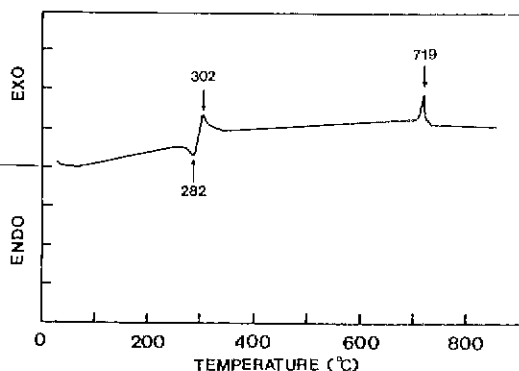


Fig. 3. DTA curve of dried Ta<sub>2</sub>O<sub>5</sub> gel.

열처리시 열처리 온도에 따른 Ta<sub>2</sub>O<sub>5</sub> 박막의 X-선 회절 분석 결과를 나타내었다. Ta<sub>2</sub>O<sub>5</sub> 분말의 X-선 회절분석 결과인 Fig. 1과는 달리 700°C까지의 온도에서도 비정질이었으며 750°C의 온도에서 1시간 열처리시 β-Ta<sub>2</sub>O<sub>5</sub>로 부분적인 결정화가 진행되었으나, 열처리 온도를 800°C로 유지시 완전히 결정화되었다. 기판상에 형성된 박막의 결정화 거동은 기판/박막 계면에서의 계면 stress 등 기판에 의해 억제되어 박막의 결정화 온도가 분말에 비해 고온으로 이동한다<sup>9)</sup>. Tantalum penta-n-butoxide로 형성한 Ta<sub>2</sub>O<sub>5</sub> 박막의 결정화 거동은 열처리 분위기에 무관하여, 질소분위기와 대기 중에서 700°C의 온도에서 1시간 열처리시 산소분위기 열처리와 같이 비정질을 유지하였다.

제조된 Ta<sub>2</sub>O<sub>5</sub> gel 분말을 공기 중에서 5°C/min의 증

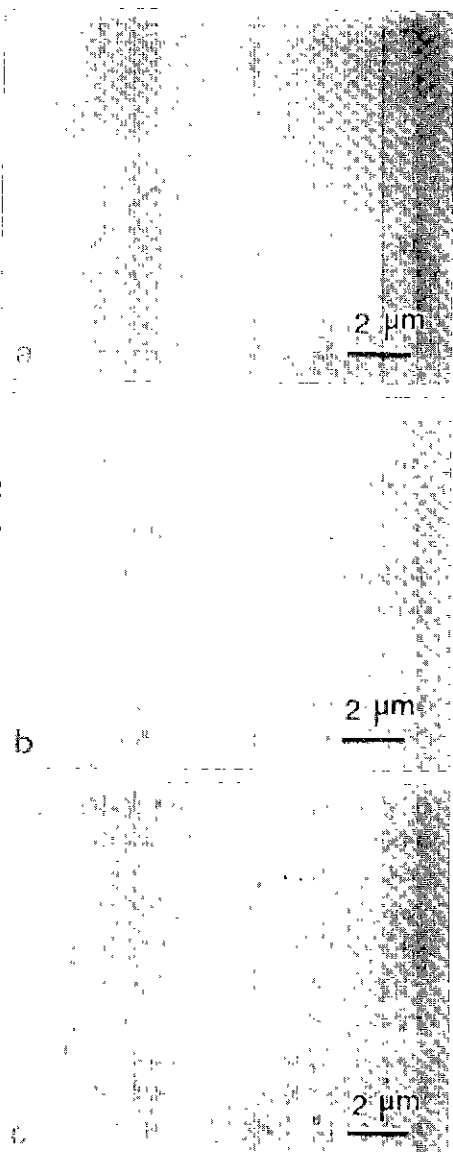


Fig. 4. Scanning electron micrographs of Ta<sub>2</sub>O<sub>5</sub> films annealed at a) 500°C, b) 800°C, and c) 900°C.

온속도로 900°C까지 시차열분석한 결과는 Fig. 3과 같다. 여기서 282°C에서의 흡열피크는 Ta<sub>2</sub>O<sub>5</sub> gel 구조내에 잔존되어 있는 알콜과 organic의 분해에 기인하며, 곤이어 이들의 연소에 의하여 302°C에서 발열피크가 나타났다. 719°C에서의 발열피크는 Ta<sub>2</sub>O<sub>5</sub>의 결정화에 기인한 것이다.

### 3.2. 비세구조

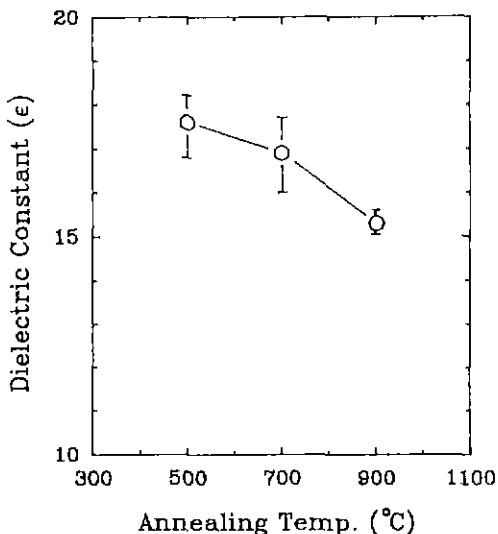


Fig. 5. Dielectric constant of  $\text{Ta}_2\text{O}_5$  films annealed at various temperatures.

Fig. 4에 산소분위기에서 1시간 열처리시 각 열처리 온도에서의  $\text{Ta}_2\text{O}_5$  박막의 SEM 미세구조를 나타내었다. 각 온도에서 열처리한 박막에서 미세균열이나 거대균열이 전혀 관찰되지 않았으나, XRD 분석(Fig. 2)에서 밝혀진 열처리 온도에 따른  $\text{Ta}_2\text{O}_5$  박막의 결정화에 따른 미세구조의 변화를 SEM으로는 관찰할 수 없었다. 500 °C에서 800°C의 온도범위에서 열처리한 시편에서는 0.3  $\mu\text{m}$  이하 크기의 작은 pinhole이 있긴 하였으나 전체적으로 치밀한 박막을 얻을 수 있었으며, pinhole의 밀도는 열처리 온도가 증가할수록 감소하였다. 그러나 900 °C에서 열처리시  $\text{Ta}_2\text{O}_5$  박막은 0.3  $\mu\text{m}$  이하 크기의 pinhole을 다량 함유하고 있는 구조로 변하였다. 반응성 스피터링법에 의한  $\text{Ta}_2\text{O}_5$  박막에서 보고된 바와 같이<sup>11</sup> 이와 같은 pinhole 밀도의 증가는 박막의 결정화에 따른 결정입계에서의 미세결합의 생성 및 성장에 기인한 것으로 생각된다. Fig. 4의 열처리 온도에 따른 미세구조의 변화는  $\text{Ta}_2\text{O}_5$  박막의 전기적 특성, 특히 누설전류 특성에 큰 영향을 미칠 것으로 판단된다.

시편의 절단면에 대한 SEM 관찰 결과 일회 스판코팅 후 각 온도에서 열처리한 박막의 두께는 약 100 nm로 확인되었다.

### 3.3. 유전특성

$\text{Ta}_2\text{O}_5$  박막을 산소분위기에서 1시간 열처리시 열처리 온도에 따른 유전상수의 변화를 Fig. 5에 나타내었다. Ta

금속 박막을 산화 열처리법으로 제조한  $\text{Ta}_2\text{O}_5$  박막에서  $\text{Ta}_2\text{O}_5$  박막의 유전상수가 결정화에 의해 비정질 박막의 유전상수보다 50% 정도 향상된다는 보고에 반해<sup>9</sup>, sol-gel법으로 제조한  $\text{Ta}_2\text{O}_5$  박막의 유전상수는 열처리 온도가 500°C에서 900°C로 증가함에 따라 17.6에서 15.3으로 감소하였다. 이와 같은 열처리 온도에 따른 유전상수의 감소는 열처리 온도의 증가에 따른  $\text{Ta}_2\text{O}_5/\text{Si}$  계면에서의  $\text{SiO}_2$ 층의 성장에 기인한다고 생각된다.

Tantalum ethoxide를 사용하여 sol-gel법으로 제조한  $\text{Ta}_2\text{O}_5$  박막을 450°C 이하의 온도에서 열처리시 물( $\epsilon=78.2$  at 1 MHz)과 ethanol( $\epsilon=24.5$  at 1 MHz)의 분리에 의해 유전상수가 급격히 감소한다고 보고되었다<sup>9</sup>. 그러나, Fig. 3의 DTA 결과에서와 같이 282°C 부근의 온도에서 gel화된 TPBN내 알콜과 organic의 분해가 일어나며 350°C 이하의 온도에서 이들의 연소가 완료되는 본 연구에서는, 500°C 이상의 온도에서의 열처리에 의한 Fig. 5의 결과에서 물과 butanol의 분해에 의한 영향을 배제할 수 있다.

산화 열처리법에 의한  $\text{Ta}_2\text{O}_5$  박막의 900°C에서의 유전상수는 열처리 시간의 증가에 따라  $\text{Ta}_2\text{O}_5/\text{Si}$  계면에서의  $\text{SiO}_2$ 층의 두께 증가에 의해 감소하며, 열처리 온도가 증가할수록 열처리 시간에 따른 유전상수의 감소율이 증가한다고 보고되었다<sup>9</sup>. 또한 CVD법으로 제조한 두께 20 nm의  $\text{Ta}_2\text{O}_5$  박막을 400°C에서 오존( $\text{O}_3$ ) 열처리시에도  $\text{Ta}_2\text{O}_5/\text{Si}$  계면의  $\text{SiO}_2$ 층의 두께가 native oxide의 1 nm에서 1.5 nm로 증가함에 따라 유전상수가 20에서 17로 감소하였다<sup>10</sup>.  $\text{Ta}_2\text{O}_5/\text{Si}$  계면에  $\text{SiO}_2$ 층 형성시, MIS 캐퍼시터의 정전용량은  $\text{Ta}_2\text{O}_5$  gate 박막과  $\text{SiO}_2$ 층의 double structure에 의하여 결정되며, 아래 식으로 표시될 수 있다<sup>10</sup>.

$$\epsilon = \frac{\epsilon_t \epsilon_s (d_t + d_s)}{\epsilon_t d_s + \epsilon_s d_t}$$

여기서  $\epsilon$ 은 double layer 구조로 된 MIS 캐퍼시터의 유효 유전상수,  $\epsilon_t$ 는  $\text{Ta}_2\text{O}_5$  박막의 유전상수,  $\epsilon_s$ 는  $\text{SiO}_2$  박막의 유전상수,  $d_t$ 는  $\text{Ta}_2\text{O}_5$  박막의 두께이고  $d_s$ 는  $\text{SiO}_2$ 층의 두께이다.

본 연구에서 TPBN을 사용하여 sol-gel법으로 형성한  $\text{Ta}_2\text{O}_5$  박막의 유전상수  $\epsilon_t$ 를 22 또는 20, 두께를 100 nm,  $\text{SiO}_2$ 의 유전상수  $\epsilon_s$ 를 3.8로 가정하였을 경우, 웃 식을 이용하여 구한 열처리 온도에 따른  $\text{SiO}_2$ 층의 형성두께  $d_s$ 의 변화는 Fig. 6과 같다.

Sol-gel법에 의한  $\text{Ta}_2\text{O}_5$  박막의 유전율을 20으로 가정시  $\text{SiO}_2$ 층의 두께는 500°C 열처리시의 3.3 nm에서 900

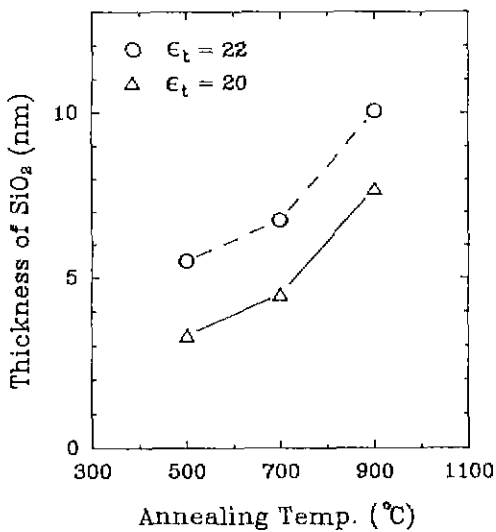


Fig. 6. Estimated thickness of SiO<sub>2</sub> layer at Ta<sub>2</sub>O<sub>5</sub>/Si interface as a function of annealing temperature of Ta<sub>2</sub>O<sub>5</sub> films.

℃ 열처리시 7.8 nm까지 증가한다. 반응성 스퍼터링법으로 Ta<sub>2</sub>O<sub>5</sub> 박막 제조시 열처리 전에도 Ta<sub>2</sub>O<sub>5</sub>/Si 계면에서 2.4 nm 두께의 SiO<sub>2</sub>가 형성되었으며<sup>10</sup>. CVD법으로 제조한 Ta<sub>2</sub>O<sub>5</sub> 박막을 오존(O<sub>3</sub>) 분위기에서 1시간 열처리시 1 nm의 native SiO<sub>2</sub>층의 두께가 300°C에서는 1.8 nm로, 500°C에서는 2.5 nm로 증가하였다<sup>10</sup>. 많은 잔류 유기 group<sup>10</sup> 남아있는 aerogel에서 잔류 수분과 유기물의 제거 및 이에 따른 다공성 구조의 치밀화에 의하여 이루어지는 sol-gel법에 의한 Ta<sub>2</sub>O<sub>5</sub> 박막은 그 제조공정상 Ta<sub>2</sub>O<sub>5</sub>를 통한 산소의 Ta<sub>2</sub>O<sub>5</sub>/Si 계면으로의 확산이 열산화법, 반응성 스퍼터링법 또는 CVD법에 의해 치밀한 구조로 형성된 Ta<sub>2</sub>O<sub>5</sub> 박막에 비해 훨씬 수월하게 된다. 따라서 Ta<sub>2</sub>O<sub>5</sub>의 유전상수 ε<sub>t</sub>를 20으로 가정하고 구한 Fig. 6의 SiO<sub>2</sub>층의 두께는 매우 신뢰도가 높다고 판단할 수 있으며, 열처리 온도 증가에 따른 Ta<sub>2</sub>O<sub>5</sub> 박막의 유전상수의 감소는 Ta<sub>2</sub>O<sub>5</sub>/Si 계면에서의 SiO<sub>2</sub>층 두께 증가에 기인한다고 할 수 있다. 또한 sol-gel법에 의한 Ta<sub>2</sub>O<sub>5</sub> 박막의 유전상수는 그 제조공정의 특성상 반응성 스퍼터링법, CVD법 또는 열산화법에 의한 Ta<sub>2</sub>O<sub>5</sub>의 유전상수보다 낮아진다고 판단할 수 있다. 그러나 이와 같은 결론의 확인을 위해서는 차후 cross-sectional TEM을 이용한 열처리 온도에 따른 계면 SiO<sub>2</sub>층의 두께 변화 관찰이 요구된다.

### 3.4. 누설전류 특성

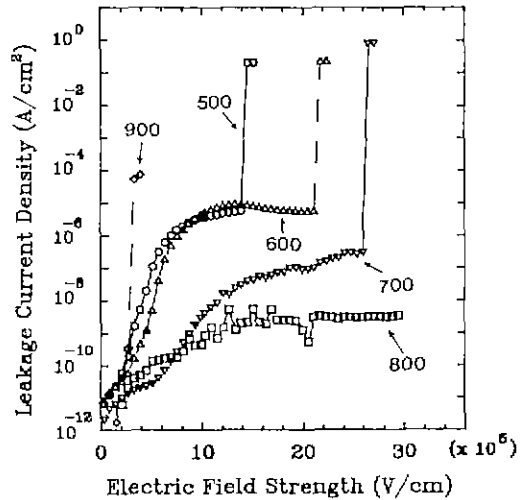


Fig. 7. Leakage current characteristics of Ta<sub>2</sub>O<sub>5</sub> films annealed at various temperatures.

Fig. 7에 산소분위기에서 500~900°C의 온도로 1시간 열처리한 Ta<sub>2</sub>O<sub>5</sub> 박막의 누설전류 특성을 나타내었다. 열처리 온도가 증가할수록 누설전류가 현저히 감소하며 breakdown strength가 증가하여, 800°C에서 열처리한 시편에서는 30×10<sup>5</sup> V/cm의 전기장에서도 breakdown이 일어나지 않았으며 누설전류도 10<sup>-8</sup> A/cm<sup>2</sup> 이하로 유지되었다. 이와 같은 열처리 온도의 증가에 따른 누설전류 특성의 향상 및 breakdown strength의 증가는 본 연구에서 박막의 제조에 사용한 sol-gel법의 특성상 열처리 온도의 증가에 따른 박막내 잔류 유기물의 완전한 분리 및 박막구조의 치밀화에 기인하는 것으로 판단된다.

Fig. 2의 X-선 회절분석에서 700°C까지의 온도에서 열처리한 박막은 비정질이었으나, 800°C에서 열처리한 박막은 orthorhombic phase인 β-Ta<sub>2</sub>O<sub>5</sub>로 결정화되었음이 밝혀졌다. 열산화법이나 반응성 스퍼터링법으로 제조한 Ta<sub>2</sub>O<sub>5</sub> 박막은 비정질 구조에서는 낮은 누설전류 특성을 보이나, 일처리 등에 의해 박막구조가 다결정체로 변할 경우 누설전류가 급격히 증가한다고 보고되었다<sup>1-33</sup>. 그러나 Fig. 7에서와 같이 sol-gel법에 의한 본 연구에서는, 다결정체인 800°C에서 열처리한 박막이 비정질을 유지하고 있는 700°C까지의 온도에서 열처리된 박막보다 우수한 누설전류 특성을 나타내었다. 따라서 sol-gel법에 의한 다결정 Ta<sub>2</sub>O<sub>5</sub> 유전박막에서는 열처리 온도 증가에 따른 박막구조의 치밀화에 의한 누설전류의 감소와 결정입체를 통한 누설전류의 증가가 서로 상쇄되어 800°C에서 최적의 누설전류 특성을 나타내는 것으로 판단된다.

900°C에서 열처리한 시편에서는 Fig. 4의 미세구조에서와 같이 pinhole의 급격한 증가에 기인하여 누설전류가 급격히 증가하였다. 800°C까지의 온도에서 열처리한 박막의 누설전류 특성은 열산화법이나 반응성 스퍼터링법으로 제조한 Ta<sub>2</sub>O<sub>5</sub> 박막<sup>1-3,5)</sup>보다 우수하였다.

#### 4. 결 론

Tantalum penta-n-butoxide를 사용하여 sol-gel법으로 제조한 Ta<sub>2</sub>O<sub>5</sub> 박막의 열처리 온도에 따른 상전이, 유전 특성 및 누설전류 특성을 분석함으로써 다음과 같은 결론을 얻었다.

1. Sol-gel법으로 제조한 Ta<sub>2</sub>O<sub>5</sub> 분말은 600°C 이하의 온도에서 1시간 열처리시 비정질 상태이었으나, 700°C 이상의 온도에서 1시간 유지시 orthorhombic phase인 β-Ta<sub>2</sub>O<sub>5</sub>로 결정화되었다. Ta<sub>2</sub>O<sub>5</sub> 박막의 β-Ta<sub>2</sub>O<sub>5</sub>로의 결정화는 분말에 비해 늦게 진행되어 완전한 결정화에 800°C 이상의 온도가 요구되었으며, Ta<sub>2</sub>O<sub>5</sub> 박막의 결정화 지향은 산소, 질소 또는 대기 등 열처리 분위기에 무관하였다.

2. Sol-gel법으로 제조한 Ta<sub>2</sub>O<sub>5</sub> 박막의 유전상수는 열처리 온도에 따라 변화하며, 제조공정의 특성상 반응성 스퍼터링법, CVD법 또는 열산화법에 의한 Ta<sub>2</sub>O<sub>5</sub> 박막의 유전상수보다 낮아진다. 즉, Ta<sub>2</sub>O<sub>5</sub> 박막의 유전상수는 열처리 온도가 500°C에서 900°C로 증가함에 따라 Ta<sub>2</sub>O<sub>5</sub>/Si 계면에서의 SiO<sub>2</sub>층 두께 증가에 기인하여 17.6에서 15.3으로 감소하였다.

3. 500~800°C의 온도로 산소 분위기에서 1시간 열처리한 Ta<sub>2</sub>O<sub>5</sub> 박막에서는 열처리 온도가 증가할수록 누설전류가 현저히 감소하고 breakdown strength가 증가하여, 800°C에서 열처리한 시편에서는  $30 \times 10^5$  V/cm의 전기장에서도 breakdown이 일어나지 않았으며 누설전류도  $10^{-8}$  A/cm<sup>2</sup> 이하로 유지되었다.

#### REFERENCES

- S. Kimura, Y. Nishioka, A. Shintani, and K. Mukai, "Leakage-Current Increase in Amorphous Ta<sub>2</sub>O<sub>5</sub> Films due to Pinhole Growth during Annealing below 600 °C," *J. Electrochem. Soc.: Solid-State Science and Technology*, **130**(12), 2414-2418 (1983).
- G.S. Oehrlein and A. Reisman, "Electrical Properties of Amorphous Tantalum Pentaoxide Thin Films on Silicon," *J. Appl. Phys.*, **54**(11), 6502-6508 (1983).
- G.S. Oehrlein, F.M. d'Heurle, and A. Reisman, "Some Properties of Crystallized Tantalum Pentaoxide Thin Films on Silicon," *J. Appl. Phys.*, **55**(10), 3715-3725 (1984).
- C. Isobe and M. Saitoh, "Effect of Ozone Annealing on the Dielectric Properties of Tantalum Oxide Thin Films Grown by Chemical Vapor Deposition," *Appl. Phys. Lett.*, **56**(10), 907-909 (1990).
- S. Banerjee, "Conduction Mechanisms in Sputtered Ta<sub>2</sub>O<sub>5</sub> on Si with an Interfacial SiO<sub>2</sub> Layer," *J. Appl. Phys.*, **65**(3), 1140-1146 (1989).
- G.S. Oehrlein, "Oxidation Temperature Dependence of the dc Electrical Conduction Characteristics and Dielectric Strength of Thin Ta<sub>2</sub>O<sub>5</sub> Films on Silicon," *J. Appl. Phys.*, **59**(5), 1597-1595 (1986).
- T. Kato and T. Ito, "Interfacial Oxidation of Silicon Substrates through Ta<sub>2</sub>O<sub>5</sub> Films," *J. Electrochem. Soc.: Solid-State Science and Technology*, **135**(10), 2586-2590 (1988).
- 이경수, 이병현, "차세대 기억소자의 캐페시터 형성기술," *대한전자공학회지*, **17**(4), 56-61 (1990).
- L.A. Silverman, G. Teowee, and D.R. Uhlmann, "Characterization of Sol-Gel Derived Tantalum Oxide Films," *Mat. Res. Soc. Symp. Proc.*, Vol. 73, 725-730 (1986).
- Y. Nishioka, S. Kimura, H. Shinriki, and K. Mukai, "Dielectric Characteristics of Double Layer Structure of Extremely Thin Ta<sub>2</sub>O<sub>5</sub>/SiO<sub>2</sub> on Si," *J. Electrochem. Soc.: Solid-State Science and Technology*, **134**(2), 410-415 (1987).